

# Navegação Robótica por Flood-Fill num Labirinto Virtual

## Definition

### Project Overview

Este projeto estudará a exploração e navegação de um robô através de um labirinto, utilizando *Flood-Fill*, com o objetivo de encontrar um caminho para o centro do labirinto o mais rápido possível.

### Problem Statement

Serão utilizadas regras semelhantes à de competições de *micromouse*: uma rodada de treinamento, em que o robô explora livremente o labirinto e constrói um mapa interno, seguido de rodadas subsequentes em que o robô tenta chegar ao objetivo o mais rápido possível.

Um simulador provê ferramentas para o teste e verificação da inteligência que será programada. A lógica atua num mapa simplificado do mundo real e tem a performance avaliada através de pontuações dadas pelo simulador. O propósito do projeto é avaliar a efetividade da exploração de um labirinto utilizando *Flood-Fill* e criar uma lógica que encontre o centro de labirintos diversos o mais rápido possível, não apenas encontrar o caminho mais curto.

### Metrics

A verificação da performance do robô é feita pelo simulador, através do seguinte cálculo:

$$score = tempo\ de\ solução + \frac{1}{30} * tempo\ de\ exploração$$

Como o objetivo é encontrar o menor tempo de solução possível, multiplica-se o tempo de exploração por um fator de treinamento, para encontrar uma relação apropriada entre treinamento e desempenho do robô.

O tempo de exploração é o número de passos dados na rodada de treinamento, utilizada pelo robô para conhecer o labirinto e testar rotas para a segunda rodada. O tempo de solução é o número de passos que o robô necessita para atingir o centro do labirinto após a exploração inicial, ou *fast run*. O limite máximo de tempo são mil passos para cada rodada.

Outro aspecto que será estudado é a taxa de exploração do labirinto, que indica a proporção de células visitadas pelo robô na rodada de treinamento. A taxa seguirá a seguinte fórmula:

$$\text{exploração}(\%) = \frac{\text{número de células visitadas}}{\text{número total de células}} * 100$$

## Analysis

### Data Exploration

A lógica atua num quadro simplificado dos labirintos encontrados em competições *micromouse*. São labirintos quadrados, de dimensões variadas, que tem início no canto inferior esquerdo e tem como objetivo as quatro células centrais do labirinto.

A célula de partida, localizada em (0,0), sempre “força” o movimento à frente, com paredes em ambos os lados. O robô interage com o labirinto através de três sensores, que possuem leituras sempre perfeitas, localizados à esquerda, à frente e à direita. As leituras são enviadas do simulador ao robô através de uma tupla (*tuple*), informando a distância do robô em relação às paredes nas direções dos sensores; na Figura 1, as leituras dos sensores, caso o robô estivesse apontando ao norte e na posição (0,0), seriam (0,11,0), indicando a distância das paredes à esquerda, à frente e à direita.

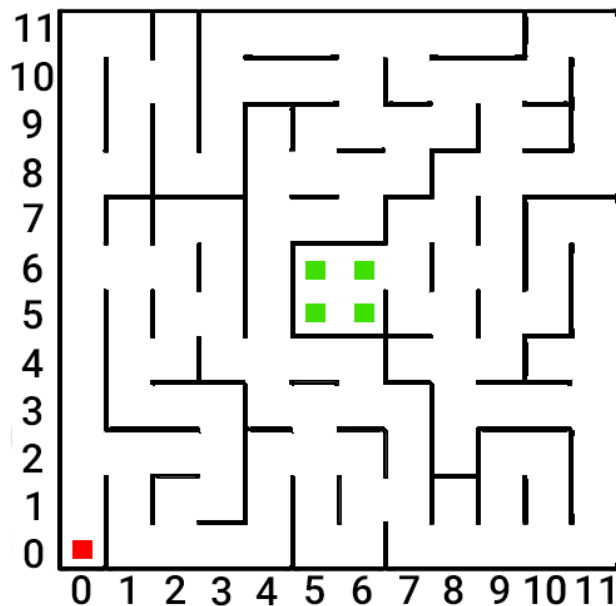


Figura 1- Início e chegada do labirinto 1.

Tal qual a leitura dos sensores, o movimento do robô é perfeito, caracterizado sempre por um valor de rotação e um valor de movimento. A rotação pode ter três valores inteiros distintos, -90 (anti-horário), 0 e 90 (horário). O deslocamento pode ter valores inteiros no intervalo de -3 e 3.

A cada passo da simulação, o robô define qual será a movimentação a ser feita. O movimento é bem-sucedido se o caminho não é bloqueado por nenhuma parede. No próximo passo, a simulação fornece novas leituras dos sensores para o cálculo do novo movimento.

## Labirintos

O robô será testado em três labirintos distintos e de diferentes dimensões, com objetivo de testar o desempenho da lógica em desafios distintos.

A Figura 2 retrata o labirinto exemplo 2, que possui dimensão 14 por 14, e a solução ideal destacada. São 43 passos necessários que, seguindo as especificações da simulação, podem ser dados em 23 movimentos.

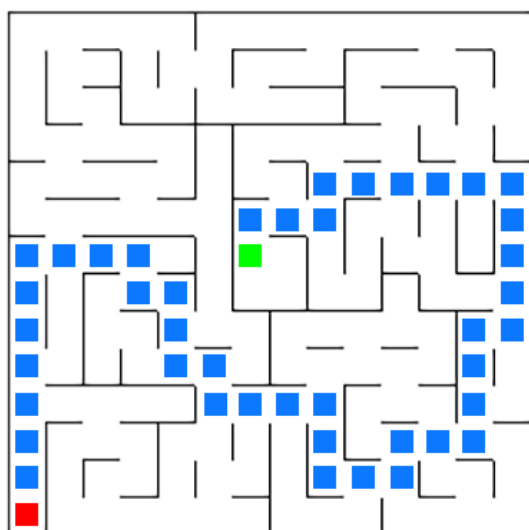


Figura 3 – Solução do labirinto 2.

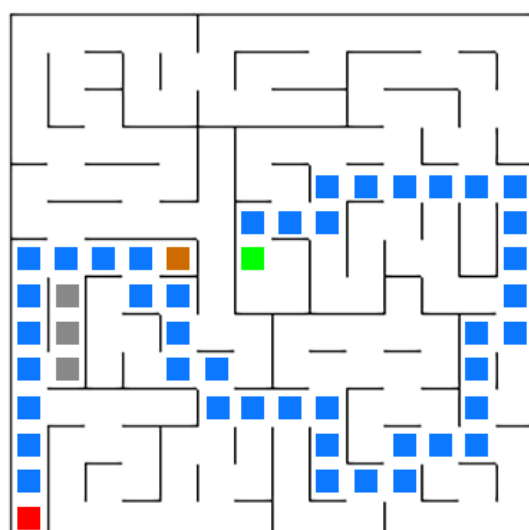


Figura 2 – Becos sem saída e rotações dispensáveis.

O robô deve, como representado na figura 2, evitar caminhos sem saída e dar preferência a caminhos com menos curvas, já que demandam deslocamentos menores mesmo se possuírem o mesmo número de passos. Na exploração, o robô deve evitar *loops* e dar menor preferência a caminhos passados anteriormente, pois gastam tempo desnecessário e não acrescentam novas informações ao mapa do robô.

Em labirintos maiores e complexos, como o labirinto exemplo 3, que possui dimensão 16x16, o tempo de exploração passa a ter uma importância maior, já que o tamanho do labirinto torna custoso visitar todas as células possíveis.

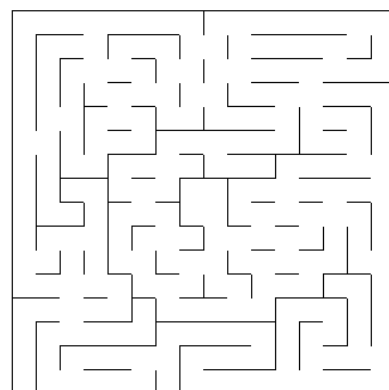


Figura 4- Labirinto 3(16x16).

## Algorithms and Techniques

A lógica utilizada neste projeto será fundamentada no algoritmo *Flood-fill*, com modificações para atender as especificações do robô, como por exemplo a impossibilidade de “pular” entre células e movimentação limitada.

*Flood-Fill* é um algoritmo muito utilizado em competições *micromouse* e possui um bom desempenho em traçar rotas em caminhos desconhecidos. O algoritmo procura operar de maneira análoga a um líquido que flui de um ponto alto para um ponto mais baixo (Law, 2013). É atribuída a cada posição do labirinto um valor de distância que representa o quão distante ela está do destino, que possui um valor 0. Portanto, células com altos valores estão mais distantes do destino – em lugares elevados, segundo a analogia – e células de valores baixos estão mais próximas do destino, ou seja, baixa elevação.

Conforme a movimentação do robô, o mapa é atualizado e distâncias são modificadas de acordo com as possibilidades de movimentação. A Figura 5 representa a distribuição de valores de distância dentro de um labirinto com dimensão 6x6, com valores calculados pela distância Manhattan entre a célula e a sala de destino do labirinto.

|   |   |   |   |   |   |
|---|---|---|---|---|---|
| 4 | 3 | 2 | 2 | 3 | 4 |
| 3 | 2 | 1 | 1 | 2 | 3 |
| 2 | 1 | 0 | 0 | 1 | 2 |
| 2 | 1 | 0 | 0 | 1 | 2 |
| 3 | 2 | 1 | 1 | 2 | 3 |
| 4 | 3 | 2 | 2 | 3 | 4 |

Figura 5 - Valores de distância num labirinto 6x6

A cada passo dado, o algoritmo avalia qual é a célula adjacente com menor valor de distância e o robô calculará qual são os movimentos necessários para atingir a célula. O algoritmo atualiza os valores de distância quando há modificação no mapa interno do robô e quando não encontra um movimento apropriado, forçando uma reavaliação do próximo movimento.

Como algoritmo simples de exploração, *Flood-fill* funciona de uma maneira eficiente para encontrar o destino da maneira rápida sem conhecimento de obstáculos, porém não garante que o caminho encontrado é o mais rápido possível, nem visita todas as possibilidades. Para a rodada de exploração, serão testadas duas técnicas além do algoritmo comum.

A primeira delas é a introdução de movimentos aleatórios para forçar o robô a visitar caminhos diferentes e explorar uma maior parcela do labirinto. Espera-se assim ter um mapa mais completo para a segunda corrida e um desempenho melhor do robô. A segunda técnica é forçar o robô a voltar ao início, visitando células diferentes e, assim, possibilitar uma melhor inspeção do labirinto.

### Benchmark

O benchmark será a pontuação do algoritmo padrão, além dos números de passos, para estudar o efeito da exploração em comparação ao resultado da rodada final.

Os resultados da segunda rodada serão comparados com os valores das soluções ideais de cada labirinto.

# Methodology

## Data Preprocessing

Neste projeto não é necessário o pré-processamento dos dados pois as especificações, movimentos e leituras dos sensores são totalmente acurados, tornando todos os dados captados, relevantes e precisos.

## Implementation

Toda a implementação, do cálculo do melhor movimento a tarefas necessárias para o funcionamento do algoritmo é feita em `robot.py`.

As tarefas do robô podem ser divididas em duas: planejamento e realização. O planejamento recebe os valores de sensores, atualiza as matrizes de mapa e distâncias, além de calcular a posição do robô e o próximo passo a ser dado. A realização utiliza as informações calculadas e providas pela fase de planejamento e calcula a rotação e deslocamento necessário para cumprir a tarefa.

Uma das soluções interessantes encontradas no início do processo de construção do algoritmo do robô foi o cálculo da posição. Enquanto a localização de linha e coluna é algo trivial, a posição do robô (norte, sul, leste ou oeste) apresenta características específicas e que simplificam alguma das tarefas necessárias. Na função *updateMap*, que atualiza o *grid* com informações de paredes e visitação, a informação de posição é utilizada para definir onde estão os obstáculos.

```
def updateMap(self, sensors):
    way = [-90, 0, 90]
    #Atualização da informação de visitação
    self.grid[self.y][self.x][4] = 1
    for i in range(len(sensors)):
        direction = (self.angle + way[i]) % 360
        distance = [sensors[i] * d for d in self.convertAngle(direction)]
        self.grid[self.y + distance[1]][self.x +
                                     distance[0]][self.gridConvert(direction)] = 0
```

As funções *convertAngle* e *gridConvert*, vistas no fragmento acima, utilizam a informação de ângulo para cumprir tarefas distintas. Em *convertAngle*, a posição é transformada em uma informação de linha e coluna (x,y).

```
def convertAngle(self, angle):
    if angle == 0: # Up
        return [0, 1]
    elif angle == 90: # Right
        return [1, 0]
    elif angle == 270: # Left
        return [-1, 0]
    elif angle == 180: # Down
        return [0, -1]
    else:
        return [0, 0]
```

Já em *gridConvert*, a mesma informação é utilizada para definir qual informação deve ser preenchida no *grid*.

```
def gridConvert(self, move):
    if move == 0: # Up
        return 0
    elif move == 90: # Right
        return 1
    elif move == 180: # Down
        return 2
    elif move == 270: # Left
        return 3
```

Um dos maiores desafios do algoritmo escolhido é a implementação da atualização dos valores de distância. Na função *checkBest*, que escolhe o próximo movimento a ser feito, a verificação simples falha quando o robô se encontra numa célula em que todos os vizinhos possuem valores maiores de distância do que a célula presente. Para atualizar os valores de distância, seguindo o algoritmo *Flood-Fill*, é chamada a função *updateDist*, que estuda as células e movimentos possíveis adjacentes, atribuindo novos valores de distância.

O mapa do labirinto é guardado na lista *grid*, que possui 5 informações para posição do labirinto. As primeiras quatro posições armazenam informações de bloqueio por uma parede nas posições norte, leste, sul e oeste, enquanto a quinta posição armazena informações de visita da célula.

A lista *dist* possui a mesma dimensão da lista *grid* e inicialmente armazena valores de distância seguindo uma fórmula heurística. Após algumas iterações de movimentação, os valores são atualizados, como comentado acima.

A principal diferença entre o algoritmo *Flood-Fill* comum e o algoritmo utilizado pelo robô é a impossibilidade de “saltar” entre posições, ou seja, caso seja necessário voltar por um caminho ou visitar uma célula distante, o robô precisa planejar os

movimentos. Um fragmento de código utilizado para adaptar o algoritmo está na função *checkBest*:

```
if best == []:

    back = (self.angle+180)%360

    nxny = self.convertAngle(back)

    if self.grid[self.y][self.x][self.gridConvert(back)] == 1:

        if self.dist[self.y + nxny[1]][self.x + nxny[0]] < dist_value:

            best = [self.angle,-1]
```

Enquanto a função *checkBest* normalmente só analisaria movimentos possíveis, adicionar o código acima dá a possibilidade para robô verificar movimentos de retorno e continuar a exploração do labirinto.

Apesar de existirem algumas diferenças na fase de exploração, todas elas utilizam o mesmo algoritmo, variando apenas em sua aplicação. O maior desafio neste estágio do projeto foi a implementação da exploração estendida, que deve inverter valores de distância sem perder informações obtidas pelo robô.

Os resultados serão visualizados através de *showresult.py* que passa a mostrar, além de uma imagem do mapa, o resultado da última simulação obtida em *tester.txt*. O arquivo *tester.txt*, gerado pela simulação, contém todos os passos dados pelo robô e em que rodada cada um deles foi feito. O número de passos será impresso após o fim da simulação.

## Refinement

### Exploração

Todas as aplicações do algoritmo estão na classe *robot.py*. Os modos de exploração serão três.

- Aleatório: além de *Flood-Fill*, dá passos aleatórios numa proporção decrescente seguindo a fórmula:

$$\varepsilon = e^{-\varphi * t}$$

Para o qual  $\varphi$  é a fator de convergência e  $t$  é o passo atual do robô. Quanto maior o fator de convergência, mais rápido  $\varepsilon$  se aproximará do zero, diminuindo a taxa de aleatoriedade.

- Comum: utiliza *Flood-Fill* nas duas rodadas sem modificações;
- Estendido: além de atingir o destino na fase de exploração, força o robô a voltar ao início.

Na rodada de *fast run*, o *Flood-Fill* será utilizado da mesma maneira, independentemente do modo escolhido para a exploração inicial do labirinto.

## Simulação

A simulação é iniciada da seguinte maneira:

```
tester.py <nome do labirinto> <número do modo exploração>
```

Por exemplo:

```
tester.py test_maze_01.txt 1
```

Para a visualização dos caminho tomado após a execução da simulação, utiliza-se:

```
showresult.py <nome do labirinto>
```

O script *showresult* sempre mostrará o resultado do último teste feito no labirinto escolhido. Caso não exista, mostrará apenas o labirinto, análogo à *showmaze*.

O número dos modos de exploração disponíveis são:

[1] Aleatório

[2] Comum

[3] Estendido



# Results

## Model Evaluation and Validation

As soluções ideais, calculadas utilizando A\* (Shibuya, 2016) e total conhecimento de cada um dos labirintos, são:

**TABELA 1 – NÚMERO DE PASSOS NECESSÁRIOS PARA SOLUÇÃO DOS LABIRINTOS**

| Labirinto teste | Movimentos necessários |
|-----------------|------------------------|
| 01              | 17                     |
| 02              | 23                     |
| 03              | 25                     |

Para a fase de exploração, utilizando *Flood-Fill*, os movimentos necessários para alcançar o centro foram:

**TABELA 2 – NÚMERO DE PASSOS NECESSÁRIOS PARA SOLUÇÃO DO LABIRINTO UTILIZANDO FLOOD-FILL**

| Labirinto teste | Movimentos necessários |
|-----------------|------------------------|
| 01              | 34                     |
| 02              | 60                     |
| 03              | 67                     |

Além dos resultados de passos dados na rodada de treinamento de *fast run*,

## Exploração Aleatória

A exploração aleatória é configurada de maneira que o robô escolha um movimento aleatório, ao invés de seguir o resultado do algoritmo *Flood-Fill*, numa taxa decrescente de aleatoriedade. A chance de o movimento ser aleatório segue a fórmula descrita na seção de exploração.

Em razão de ser um método que utiliza um fator aleatório e produz resultados diferentes, foram feitas dez corridas utilizando configurações diversas, para cada um dos labirintos.

**TABELA 3 – RESULTADOS MÉDIOS PARA MAZE 3**

| $\varphi$ | Score   | Treino | Fast Run | Exploração(%) |
|-----------|---------|--------|----------|---------------|
| 0,01      | 27896,8 | 74,9   | 25,4     | 41,736        |
| 0,05      | 28690,1 | 47,7   | 27,1     | 29,095        |
| 0,1       | 29243,4 | 46,3   | 27,7     | 27,43         |

**TABELA 4 – RESULTADOS MÉDIOS PARA MAZE 2**

| $\varphi$ | Score   | Treino | Fast Run | Exploração(%) |
|-----------|---------|--------|----------|---------------|
| 0,01      | 42913,3 | 114,4  | 39,1     | 40,411        |
| 0,05      | 39373,3 | 83,2   | 36,6     | 35,358        |
| 0,1       | 38276,7 | 74,3   | 35,8     | 34,184        |

**TABELA 5 – RESULTADOS MÉDIOS PARA MAZE 3**

| <b>φ</b> | <b>Score</b> | <b>Treino</b> | <b>Fast Run</b> | <b>Exploração(%)</b> |
|----------|--------------|---------------|-----------------|----------------------|
| 0,01     | 57970        | 95,1          | 54,8            | 27,931               |
| 0,05     | 59723,3      | 72,7          | 57              | 22,973               |
| 0,1      | 58620        | 69,6          | 57,3            | 23,205               |

**TABELA 6 – RESULTADOS MÉDIOS PARA MAZE 4**

| <b>φ</b> | <b>Score</b> | <b>Treino</b> | <b>Fast Run</b> | <b>Exploração(%)</b> |
|----------|--------------|---------------|-----------------|----------------------|
| 0,01     | 77889,9      | 173,7         | 72,1            | 41,681               |
| 0,05     | 78083,3      | 125,5         | 73,9            | 38,046               |
| 0,1      | 78626,8      | 114,8         | 74,8            | 37,227               |

**TABELA 7 – RESULTADOS PARA MAZE 1**

| <b>φ</b> | <b>Score</b> | <b>Treino</b> | <b>Fast Run</b> | <b>Exploração(%)</b> |
|----------|--------------|---------------|-----------------|----------------------|
| 0,1      | 33767        | 53            | 32              | 33,33                |
| 0,1      | 29833        | 55            | 28              | 28,47                |
| 0,1      | 27567        | 47            | 26              | 30,56                |
| 0,1      | 29200        | 66            | 27              | 31,94                |
| 0,1      | 27367        | 41            | 26              | 27,08                |
| 0,1      | 29400        | 42            | 28              | 25                   |
| 0,1      | 28267        | 38            | 27              | 24,31                |
| 0,1      | 28300        | 39            | 27              | 24,31                |
| 0,1      | 29133        | 34            | 28              | 22,22                |
| 0,1      | 29600        | 48            | 28              | 27,08                |
| 0,05     | 26833        | 55            | 25              | 32,64                |
| 0,05     | 29267        | 38            | 28              | 23,61                |
| 0,05     | 32500        | 45            | 31              | 27,08                |
| 0,05     | 20967        | 59            | 19              | 31,94                |
| 0,05     | 29367        | 41            | 28              | 25,69                |
| 0,05     | 30533        | 46            | 29              | 27,08                |
| 0,05     | 28467        | 44            | 27              | 27,08                |
| 0,05     | 29000        | 60            | 27              | 36,11                |
| 0,05     | 27667        | 50            | 26              | 33,33                |
| 0,05     | 32300        | 39            | 31              | 26,39                |
| 0,01     | 22467        | 104           | 19              | 50,69                |
| 0,01     | 24667        | 80            | 22              | 51,39                |
| 0,01     | 29333        | 100           | 26              | 52,78                |
| 0,01     | 28267        | 68            | 26              | 43,75                |
| 0,01     | 33933        | 28            | 33              | 18,75                |
| 0,01     | 27167        | 95            | 24              | 41,67                |
| 0,01     | 27867        | 86            | 25              | 45,83                |
| 0,01     | 31400        | 42            | 30              | 27,78                |
| 0,01     | 26800        | 84            | 24              | 44,44                |
| 0,01     | 27067        | 62            | 25              | 40,28                |

**TABELA 8 – RESULTADOS PARA MAZE 2**

| <b>φ</b> | <b>Score</b> | <b>Treino</b> | <b>Fast Run</b> | <b>Exploração(%)</b> |
|----------|--------------|---------------|-----------------|----------------------|
| 0,1      | 38333        | 70            | 36              | 31,63                |
| 0,1      | 39300        | 69            | 37              | 31,12                |
| 0,1      | 39467        | 74            | 37              | 47,45                |
| 0,1      | 32033        | 91            | 29              | 38,78                |
| 0,1      | 39267        | 68            | 37              | 30,1                 |
| 0,1      | 46000        | 60            | 44              | 26,02                |
| 0,1      | 35867        | 86            | 33              | 37,76                |
| 0,1      | 38100        | 63            | 36              | 28,57                |
| 0,1      | 39333        | 70            | 37              | 31,12                |
| 0,1      | 35067        | 92            | 32              | 39,29                |
| 0,05     | 38400        | 72            | 36              | 32,65                |
| 0,05     | 45767        | 83            | 43              | 37,76                |
| 0,05     | 38933        | 88            | 36              | 37,24                |
| 0,05     | 34133        | 94            | 31              | 41,33                |
| 0,05     | 35933        | 88            | 33              | 38,27                |
| 0,05     | 36167        | 95            | 33              | 38,27                |
| 0,05     | 39500        | 75            | 37              | 33,16                |
| 0,05     | 45400        | 72            | 43              | 26,02                |
| 0,05     | 40067        | 92            | 37              | 37,76                |
| 0,05     | 39433        | 73            | 37              | 31,12                |
| 0,01     | 32800        | 114           | 29              | 43,37                |
| 0,01     | 46600        | 138           | 42              | 44,39                |
| 0,01     | 37200        | 126           | 33              | 43,37                |
| 0,01     | 37967        | 119           | 34              | 38,78                |
| 0,01     | 45300        | 99            | 42              | 39,29                |
| 0,01     | 52000        | 120           | 48              | 43,37                |
| 0,01     | 38533        | 136           | 34              | 48,47                |
| 0,01     | 47133        | 124           | 43              | 39,29                |
| 0,01     | 49367        | 41            | 48              | 19,9                 |
| 0,01     | 42233        | 127           | 38              | 43,88                |

**TABELA 9 – RESULTADOS PARA MAZE 3**

| $\varphi$ | Score | Treino | Fast Run | Exploração(%) |
|-----------|-------|--------|----------|---------------|
| 0,1       | 56367 | 71     | 54       | 21,88         |
| 0,1       | 57300 | 69     | 55       | 23,83         |
| 0,1       | 56500 | 75     | 54       | 24,22         |
| 0,1       | 56533 | 76     | 54       | 23,83         |
| 0,1       | 60267 | 68     | 58       | 23,44         |
| 0,1       | 59133 | 64     | 57       | 22,66         |
| 0,1       | 59400 | 72     | 57       | 23,83         |
| 0,1       | 62200 | 66     | 60       | 21,09         |
| 0,1       | 58233 | 67     | 56       | 23,83         |
| 0,1       | 60267 | 68     | 68       | 23,44         |
| 0,05      | 68933 | 58     | 67       | 19,59         |
| 0,05      | 57700 | 81     | 55       | 23,05         |
| 0,05      | 56900 | 87     | 54       | 24,61         |
| 0,05      | 58300 | 69     | 53       | 23,83         |
| 0,05      | 62567 | 77     | 60       | 24,22         |
| 0,05      | 56400 | 72     | 54       | 23,44         |
| 0,05      | 60867 | 56     | 59       | 18,75         |
| 0,05      | 65133 | 64     | 63       | 21,88         |
| 0,05      | 56533 | 76     | 54       | 24,61         |
| 0,05      | 53900 | 87     | 51       | 25,75         |
| 0,01      | 60633 | 109    | 57       | 30,08         |
| 0,01      | 65167 | 65     | 63       | 22,66         |
| 0,01      | 67333 | 70     | 65       | 23,83         |
| 0,01      | 56500 | 75     | 54       | 24,22         |
| 0,01      | 52167 | 95     | 49       | 26,56         |
| 0,01      | 59467 | 44     | 58       | 14,45         |
| 0,01      | 62367 | 101    | 59       | 26,56         |
| 0,01      | 61333 | 130    | 57       | 34,38         |
| 0,01      | 60533 | 106    | 57       | 28,52         |
| 0,01      | 34200 | 156    | 29       | 48,05         |

**TABELA 10 – RESULTADOS PARA MAZE 4**

| $\varphi$ | Score | Treino | Fast Run | Exploração(%) |
|-----------|-------|--------|----------|---------------|
| 0,1       | 80800 | 114    | 77       | 37,11         |
| 0,1       | 78067 | 122    | 74       | 37,5          |
| 0,1       | 80700 | 111    | 77       | 37,11         |
| 0,1       | 80767 | 113    | 77       | 37,11         |
| 0,1       | 73867 | 116    | 70       | 37,5          |
| 0,1       | 75967 | 119    | 72       | 37,89         |
| 0,1       | 78767 | 113    | 75       | 36,72         |
| 0,1       | 80700 | 111    | 77       | 36,72         |
| 0,1       | 80800 | 114    | 77       | 36,72         |
| 0,1       | 75833 | 115    | 72       | 37,89         |
| 0,05      | 79200 | 126    | 75       | 36,72         |
| 0,05      | 75100 | 123    | 71       | 38,67         |
| 0,05      | 81267 | 128    | 77       | 37,5          |
| 0,05      | 79200 | 126    | 75       | 38,67         |
| 0,05      | 81033 | 121    | 77       | 37,11         |
| 0,05      | 76067 | 122    | 72       | 38,28         |
| 0,05      | 71233 | 127    | 67       | 39,84         |
| 0,05      | 79233 | 127    | 75       | 37,11         |
| 0,05      | 79367 | 131    | 75       | 37,89         |
| 0,05      | 79133 | 124    | 75       | 38,67         |
| 0,01      | 74633 | 199    | 68       | 41,8          |
| 0,01      | 73733 | 202    | 67       | 41,02         |
| 0,01      | 75533 | 196    | 69       | 42,97         |
| 0,01      | 81200 | 156    | 76       | 37,5          |
| 0,01      | 78300 | 159    | 73       | 40,23         |
| 0,01      | 89100 | 153    | 84       | 46,88         |
| 0,01      | 70333 | 160    | 65       | 42,58         |
| 0,01      | 67567 | 167    | 62       | 41,8          |
| 0,01      | 83700 | 171    | 78       | 37,89         |
| 0,01      | 84800 | 174    | 79       | 44,14         |

Os resultados alcançados, o modo de exploração aleatória, utilizaram, como esperado, um maior número de passos para encontrar o centro na fase de treinamento, o que normalmente indica uma maior exploração do labirinto. A taxa de aleatoriedade também funcionou como esperado, rendendo uma maior exploração quando o fator de convergência é menor. Outro ponto relevante é a aproximação da solução ideal em algumas corridas, diferente do que será visto nos próximos modos de exploração.

## Flood-Fill Comum

Diferentemente do algoritmo de exploração aleatória, o resultado do algoritmo *Flood-Fill* se mantém constante. O desempenho do algoritmo está na tabela abaixo:

**TABELA 11 – RESULTADOS FLOOD FILL COMUM**

| Labirinto | Score | Treino | Fast Run | Exploração(%) |
|-----------|-------|--------|----------|---------------|
| 1         | 29133 | 34     | 28       | 20,83         |
| 2         | 46000 | 60     | 44       | 26,02         |
| 3         | 60233 | 67     | 58       | 23,05         |
| 4         | 80667 | 110    | 77       | 36,72         |

## Flood-Fill Estendido

O último método de exploração utiliza em média pouco menos do dobro de passos do método comum de *Flood-Fill* na rodada de exploração. Entretanto, nota-se que o dobro de passos não se traduz no dobro de exploração de células.

**TABELA 12 – RESULTADOS FLOOD FILL ESTENDIDO**

| Labirinto | Score | Treino | Fast Run | Exploração(%) |
|-----------|-------|--------|----------|---------------|
| 1         | 27867 | 56     | 26       | 34,03         |
| 2         | 39200 | 96     | 36       | 42,86         |
| 3         | 77233 | 127    | 73       | 35,94         |
| 4         | 87800 | 294    | 78       | 67,97         |

## Exploração, eficiência e robustez

Os resultados encontrados nos diferentes modos de exploração deixam claro que há correlação entre exploração e eficiência, o que é de se esperar. Entretanto, contrariando a expectativa, observando apenas os números de passos dados na segunda rodada, nota-se que o ganho de exploração representa apenas um pequeno ganho no desempenho, especialmente em labirintos mais complexos, como o três e quatro.

O algoritmo mostrou-se robusto nas condições apresentadas, encontrando o objetivo em todos os casos. O pior desempenho, encontrado no labirinto desenvolvido separadamente e escolhido para atacar fraquezas do algoritmo, ainda está distante do tempo limite fixado pelo simulador.

## Justification

O *Flood-Fill* não se aproximou da solução ideal em nenhum dos casos, o que era esperado levando em consideração que o ponto forte do algoritmo é a exploração sem um mapa prévio. Na rodada de treinamento, tanto o modo aleatório quanto o estendido tiveram uma busca mais extensa que o algoritmo comum.

Na tabela seguinte serão comparados os resultados dos três modos nos labirintos disponíveis e benchmarks, utilizando o melhor resultado médio do modo aleatório em cada caso. Para comparar a eficiência dos modos na *fast run*, será utilizada a fórmula:

$$\Delta FR(\%) = \frac{\text{tempo fast run} - \text{benchmark}}{\text{benchmark}} * 100$$

**TABELA 13 – COMPARAÇÃO DE RESULTADOS MAZE 1**

| Modo                        | Score   | Treino | Fast Run | Exploração(%) | $\Delta FR(\%)$ |
|-----------------------------|---------|--------|----------|---------------|-----------------|
| Comum                       | 29133   | 34     | 28       | 20,83         | 64,71           |
| Estendido                   | 27867   | 56     | 26       | 34,03         | 52,94           |
| Aleatório, $\varphi = 0,01$ | 27896,8 | 74,9   | 25       | 41,74         | 47,06           |
| Benchmark                   | -       | 34     | 17       | -             | -               |

**TABELA 14 – COMPARAÇÃO DE RESULTADOS MAZE 2**

| Modo                       | Score   | Treino | Fast Run | Exploração(%) | $\Delta FR(\%)$ |
|----------------------------|---------|--------|----------|---------------|-----------------|
| Comum                      | 46000   | 60     | 44       | 26,02         | 91,30           |
| Estendido                  | 39200   | 96     | 36       | 42,86         | 56,52           |
| Aleatório, $\varphi = 0,1$ | 38276,7 | 74,3   | 36       | 34,19         | 56,52           |
| Benchmark                  | -       | 60     | 23       | -             | -               |

**TABELA 15 – COMPARAÇÃO DE RESULTADOS MAZE 3**

| Modo                        | Score | Treino | Fast Run | Exploração(%) | $\Delta FR(\%)$ |
|-----------------------------|-------|--------|----------|---------------|-----------------|
| Comum                       | 60233 | 67     | 58       | 23,05         | 132,0           |
| Estendido                   | 77233 | 127    | 73       | 35,94         | 192,0           |
| Aleatório, $\varphi = 0,01$ | 57970 | 95,1   | 54,8     | 27,931        | 119,2           |
| Benchmark                   | -     | 67     | 25       | -             | -               |

Nos resultados apresentados, há a sugestão que uma maior exploração é efetiva em labirintos mais simples, como observado na tabela 13, onde a exploração e  $\Delta FR$  são inversamente correlacionados. Entretanto, com o aumento da complexidade dos labirintos essa relação não se mantém e uma menor exploração tem resultados melhores, como observado na tabela 15.

O desempenho do algoritmo é consistente através de todos os labirintos. Enquanto maior informação do labirinto altera a eficiência do *Flood-Fill*, o algoritmo

possui velocidade de resolução semelhante nas duas rodadas, comprovando a utilidade da inteligência em cenários de exploração.

## Conclusion

### Free-Form Visualization

Utilizando como inspiração o labirinto da 13ª Competição de Micromouse e Robôs Inteligentes de Taiwan (Ye, 2017), o labirinto tem como proposta atacar fraquezas comuns de robôs *micromouse*.

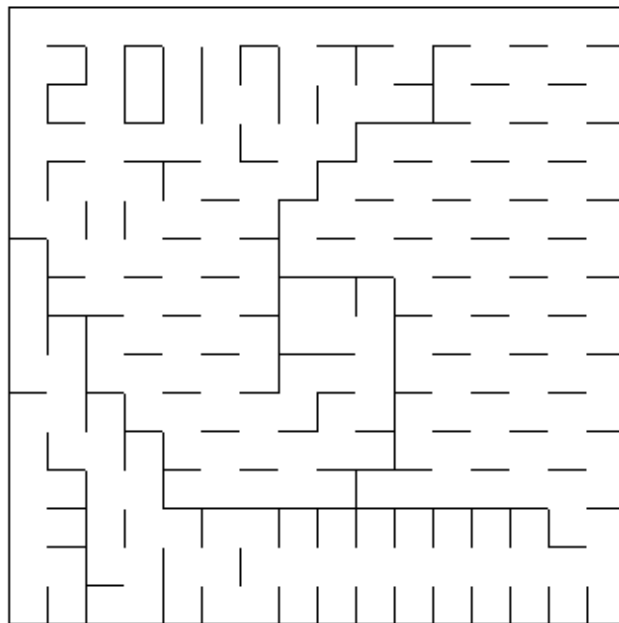


Figura 6- Test Maze 4

No mundo real, o labirinto procura testar a habilidade do robô andar em diagonal, como pode ser visto na solução ideal (Ye, 2017):

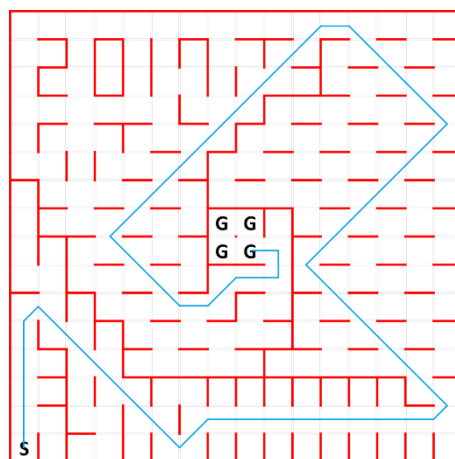


Figura 7- Solução ideal

Como o simulador limita os movimentos possíveis do robô, os passos necessários para atingir o objetivo são elevados, pois é necessário desviar de todas as barreiras. Os resultados atingidos pelo algoritmo são explicitados em seções anteriores e, abaixo, segue a solução atingida pelo algoritmo com exploração comum:

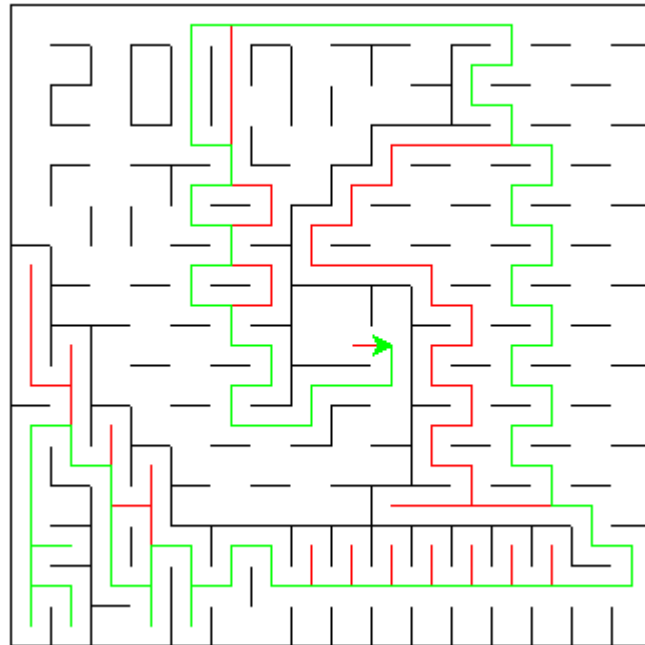


Figura 8- Solução encontrada utilizando exploração comum

## Reflection

O primeiro desafio que encontrei no início do projeto foi identificar um método diferente para o projeto. Enquanto a solução por  $A^*$  é interessante e viável, ela já foi discutida com detalhes no projeto exemplo. A pesquisa de um método alternativo me levou ao estudo de competições de *micromouse*; enquanto robôs campeões raramente detalham qual é o método utilizado, há diversos estudos detalhando métodos novos de *Flood-Fill* (Willardson, 2001) (Cai, Ye, & Yang, 2012) utilizando regras de competições como método de verificação da performance do algoritmo.

O próximo desafio foi a programação de fato. Apesar do algoritmo ser relativamente simples, as limitações da movimentação do robô introduzem alguma dificuldade na implementação. Minha estratégia foi sofisticar a resolução em níveis; primeiramente o robô apenas se movia uma célula por vez e só para frente. Dessa maneira, consegui sanar boa parte dos problemas como becos sem saída e loops ainda na primeira iteração, já que as opções eram reduzidas.

O segundo passo foi introduzir movimentos maiores, melhorando a velocidade do robô e os scores. Não houve grandes mudanças no tempo computacional para

resolução, apesar do robô analisar um maior número de possibilidades para cada célula – de 3 para 9. O passo final foi introduzir o movimento reverso, que introduziu uma melhora na maneira de lidar com becos.

Nesse estágio do projeto, o funcionamento do robô já possibilitava a medição de resultados. Os resultados do *fast run*, no entanto, quando comparado ao benchmark, deixaram a desejar. Outros modos para estender a busca foram introduzidos, mas o ganho foi reduzido, indicando que o problema não é necessariamente pouco conhecimento do labirinto, mas a maneira que os movimentos são decididos.

Sendo assim, o *Flood-Fill* é indicado para resolver problemas de localização de característica exploratória, encontrando o destino quando há pouca informação disponível. Entretanto, quando utilizado para encontrar o caminho eficiente, o algoritmo é muito agressivo e escolhe movimentos que são bons na iteração presente, mas que tomarão mais movimentos nos passos seguintes.

## Improvement

A maior limitação do algoritmo é funcionar num mundo discreto e perfeito. A utilização e os cálculos são simples num mundo de centenas de células, mas no mundo real, haveria dificuldades com o posicionamento, movimentação e dimensões do robô, além da informação captada pelos sensores e o armazenamento do mapa. Há técnicas existentes para solução, como SLAM, que podem ser aplicadas para estes casos.

No caso do robô e as paredes terem espessura, seria necessário definir uma célula mínima de comprimento e reconstruir o labirinto sob as novas regras. Além disso, seria necessário levar em consideração o tamanho do robô e o espaço necessários para manobras.

Outro desafio, em relação às competições de *micromouse*, é a solução de testes recorrentes nos mapas. Andar na diagonal e evitar curvas fechadas é essencial para economizar tempo, um ponto que foi só tocado superficialmente neste projeto. O desempenho do algoritmo atual foi testado num labirinto de competição real – o Test Maze 4 – e o número de passos para o objetivo foi alto quando comparado com os testes anteriores.

Utilizando as configurações de mundo deste projeto, as soluções dos labirintos são as soluções ideais encontradas através de A\* quando o labirinto foi totalmente explorado e não há outro benchmark possível. Um ponto mais interessante de estudo, que desde o início foi um dos objetivos do projeto, é a otimização da exploração necessária para a construção de tal resposta ideal. Neste campo, a performance do *Flood-Fill* é satisfatória, mas não carrega informações que podem ser úteis em labirintos diversos, como configurações já vistas anteriormente e movimentos preferidos.



# Referências

- Cai, Z., Ye, L., & Yang, A. (2012). FloodFill Maze Solving with Expected Toll of Penetrating Unknown Walls for Micromouse. *High Performance Computing and Communication & 2012 IEEE 9th International Conference on Embedded Software and Systems*. Chengdun: IEEE.
- Law, G. (Junho de 2013). Quantitative Comparison of Flood Fill and Modified Flood. *International Journal of Computer Theory and Engineering*, pp. 503-508.
- Shibuya, N. (20 de March de 2016). *Plot and Navigate a Virtual Maze*. Fonte: Udacity: <http://www.udacity.com>
- Willardson, D. M. (2001). *Learning from Data*. Fonte: Analysis of Micromouse Maze Solving Algorithms: <http://citeseerx.ist.psu.edu/viewdoc/download?doi=10.1.1.307.3305&rep=rep1&type=pdf>
- Ye, G. (25 de 09 de 2017). *2017 Taiwan micromouse and intelligent robot contest*. Fonte: Micromouse USA: <http://micromouseusa.com/?p=2179>